

Государственное бюджетное образовательное учреждение высшего
образования Московской области
«Университет «Дубна»

Инженерно-физический институт
Кафедра фундаментальных проблем физики микромира

Курсовая работа по
Теме:

«Колебательные процессы»

Выполнил:
студент группы 3161
Баки Даниил Феликсович

Преподаватель:
кандидат физ.-мат. наук, доцент кафедры ядерной физики
Рачков Владимир Александрович

Дубна, 2022

Аннотация

В работе исследуется механическая система состоящая из шарика закрепленного на двух пружинах на поверхности стола. Для исследования данной системы были получены уравнения движения для шарика и проведено математическое моделирование данной системы с применением метода Рунге-Кутты четвертого порядка на языке программирования C++.

Содержание

1	Введение	2
2	Уравнения движения	3
3	Метод Рунге-Кутты	5
4	Результаты	6
4.1	Траектории	6
4.2	Фазовые портреты	7
5	Заключение	8
	Список литературы	10

1 Введение

Мы будем изучать колебательные процессы на следующем примере шарика лежащего на горизонтальном столе, прикрепленном к двум пружинам с жесткостями k_x и k_y и одинаковыми длинами l в нерастянутом состоянии. Пружины взаимно перпендикулярны в положении равновесия. В момент времени $t_0 = 0$ шарик оттягивают из положения равновесия в точку с координатами (x_0, y_0) относительно положения равновесия, после чего отпускают. Моделью данной системы служит материальная точка, движущаяся на плоскости $(x, y) \in \mathbb{R}^2$

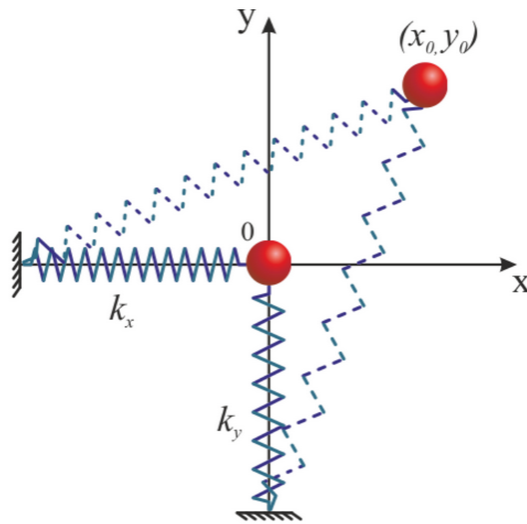


Рис. 1: Схема условия

2 Уравнения движения

Лагранжиан нашей системы имеет вид:

$$L = m \frac{\dot{x}^2 + \dot{y}^2}{2} - k_x \frac{x^2 + y^2}{2} - k_y \frac{x^2 + y^2}{2} - \frac{b}{2} \frac{d}{dt} (x^2 + y^2). \quad (1)$$

Чтобы уменьшить количество уравнений можно сделать замену $z = x + iy$, $z^* = x - iy$ и переписать:

$$L = m \frac{\dot{z}\dot{z}^*}{2} - (k_x + k_y) \frac{zz^*}{2} - \frac{b}{2} \frac{d}{dt} (zz^*). \quad (2)$$

Из него получаем следующие уравнения движения:

$$m\ddot{z} = -(k_x + k_y)z - b\dot{z}, \quad (3)$$

где b коэффициент силы трения. Введем для удобства обозначения $A = (k_x + k_y)/m$ и $B = b/m$. Так же нам понадобится разбить уравнения второго порядка на уравнения первого порядка. Для этого обозначим $v_z = \dot{z}$. В итоге система имеет вид:

$$\dot{v}_z = -Az - Bv_z, \quad (4)$$

$$\dot{z} = v_z. \quad (5)$$

Получим точное решение данной системы уравнений. Для этого будет удобно фиксировать начальные условия $z(t=0) = z_0$, $v_z(0) = v_0$ и использовать матричную запись:

$$\dot{Z} = \begin{pmatrix} \dot{v}_z \\ \dot{z} \end{pmatrix} = \begin{pmatrix} -B & -A \\ 1 & 0 \end{pmatrix} \begin{pmatrix} v_z \\ z \end{pmatrix} = MZ. \quad (6)$$

Собственные числа оператора M будут:

$$\lambda_{\pm} = \frac{-B \pm \sqrt{B^2 - 4A}}{2}. \quad (7)$$

Собственный базис будет:

$$\xi_{\pm} = \begin{pmatrix} \lambda_{\pm} \\ 1 \end{pmatrix} \quad (8)$$

Тогда решение дается следующей формулой (См. Гл.3 §17[1]):

$$Z(t) = e^{Mt} Z_0 = \sum_{\pm} C_{\pm} e^{\lambda_{\pm} t} \xi_{\pm}, \quad (9)$$

C_{\pm} определяются из начальных условий.

Так как из определения констант следует $A, B > 0$, то из формулы выше следует, что собственные числа будут иметь отрицательную вещественную часть $\text{Re}(\lambda_{\pm}) < 0$. Так же

они будут иметь ненулевую мнимую часть при выполнении условия

$$B^2 < 4A. \quad (10)$$

Из классификации особых точек ОДУ следует что при выполнении(или невыполнении) этого условия фазовые кривые будут иметь один из двух типов, представленных на Рис. 2. Если же сила трения отсутствует, то $B = 0$, собственные числа чисто мнимые $\text{Re}(\lambda_{\pm}) = 0$,

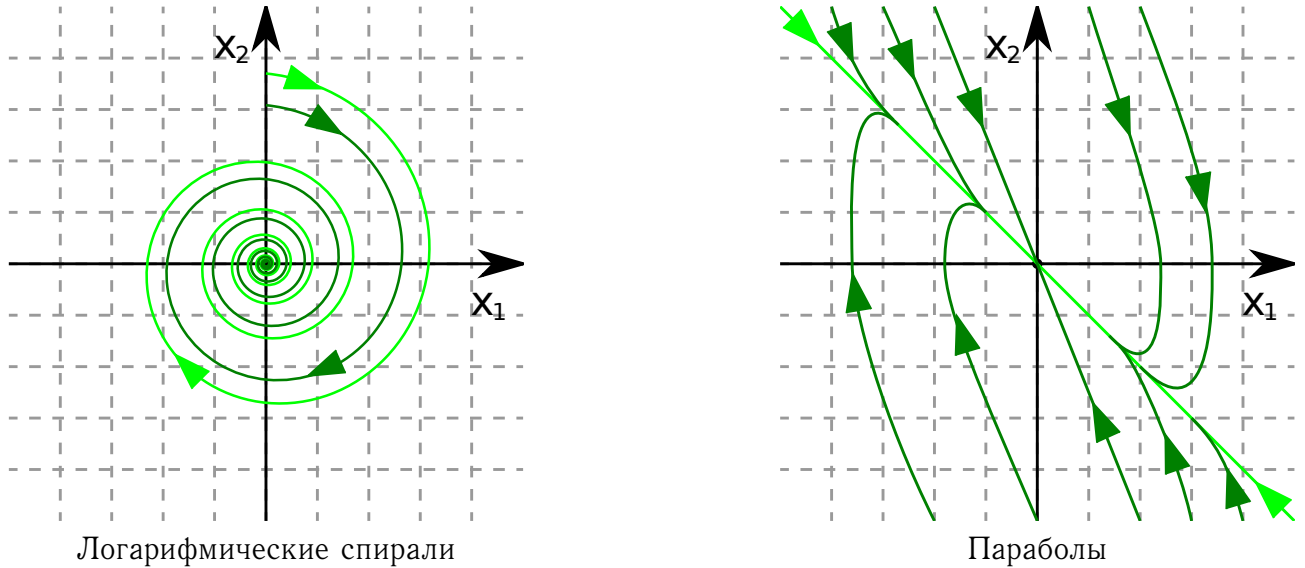


Рис. 2: Возможные фазовые портреты вблизи нуля[3, 4]

что соответствует окружностям или гармоническим колебаниям, как на Рис. 3.

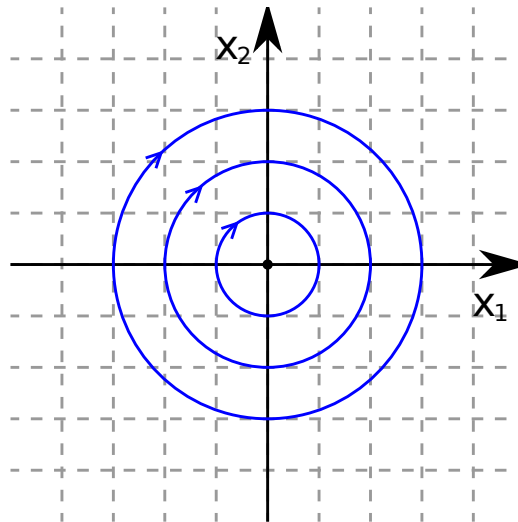


Рис. 3: Окружности на фазовом портрете при нулевой вещественной части собственных чисел [2]

Общая классификация представлена на Рис.4. В наших обозначениях $p = \text{Tr } M = -B$, $\Delta = \det M = A$, $\Delta = B^2 - 4A$, где матрица M берётся из уравнения (6)

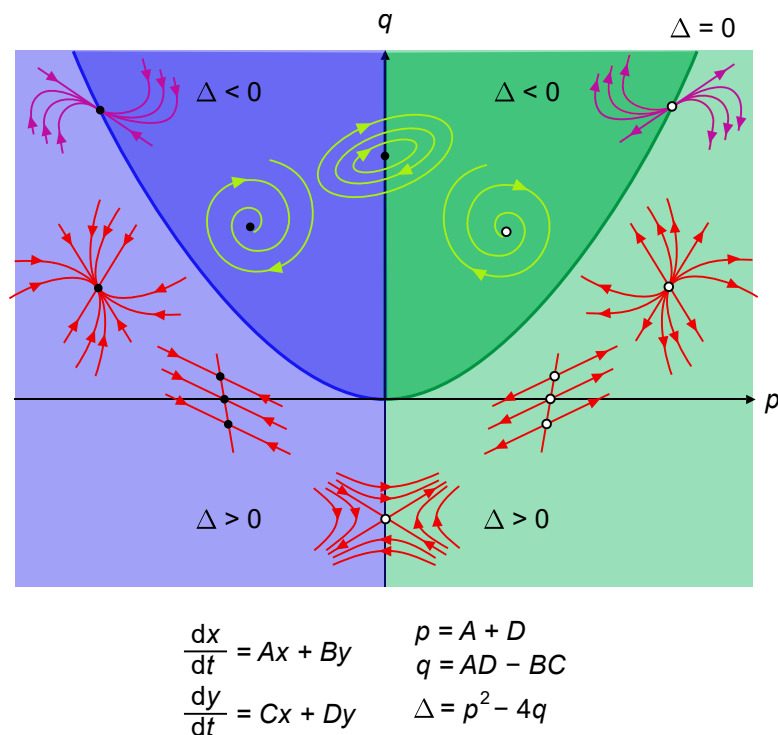


Рис. 4: Все типы особых точек в зависимости от Tr , \det и Δ [5]

3 Метод Рунге-Кутты

Пусть дана система из n обыкновенных дифференциальных уравнений первого порядка:

$$\dot{X} = F(t, X), \quad (11)$$

$X \in \mathbb{R}^n, t, h \in \mathbb{R}$, шаг сетки h и начальное условие $X_0 = X(t = 0)$. Для вычисления приближенного решения в последующих точках требуется посчитать коэффициенты k_i (их получится $4n$ штук – на каждое уравнение системы по четыре k_i):

$$k_1 = F(t_n, X_n), \quad (12)$$

$$k_2 = F(t_n + h/2, X_n + k_1 h/2), \quad (13)$$

$$k_3 = F(t_n + h/2, X_n + k_2 h/2), \quad (14)$$

$$k_4 = F(t_n + h, X_n + k_3 h). \quad (15)$$

Тут индекс n обозначает узел сетки. Зная коэффициенты мы можем вычислить приближенное решение в следующей точке по следующей формуле:

$$X_{n+1} = X_n + \frac{h}{6}(k_1 + 2k_2 + 2k_3 + k_4). \quad (16)$$

Следует обратить внимание на двойки перед k_2 и k_3 . Суммарная ошибка на всем отрезке интегрирования будет порядка $O(h^4)$, поэтому метод и имеет четвертый порядок.

4 Результаты

4.1 Траектории

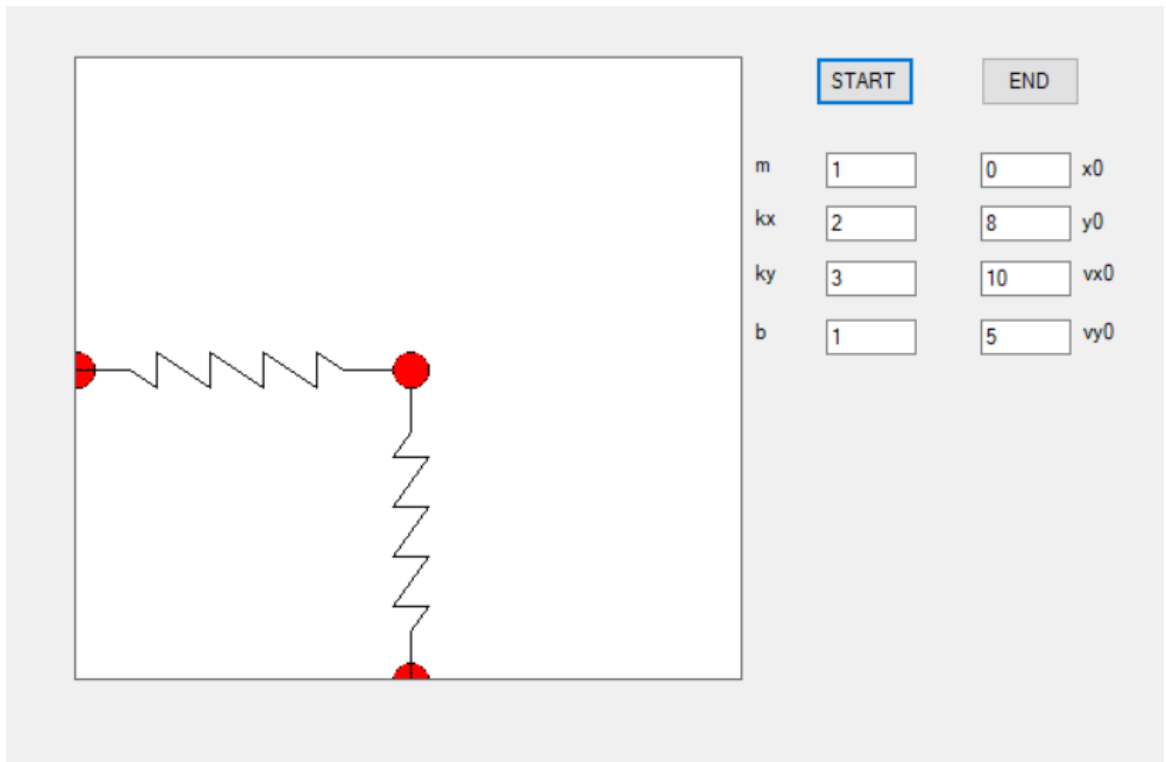


Рис. 5: Окно с анимацией шарика с пружиной. Так же поля для ввода параметров

Далее будем приводить траектории шарика. Рассмотрим случай, когда трение отсутствует, тогда траектория будет иметь вид эллипса как на Рис. 6.

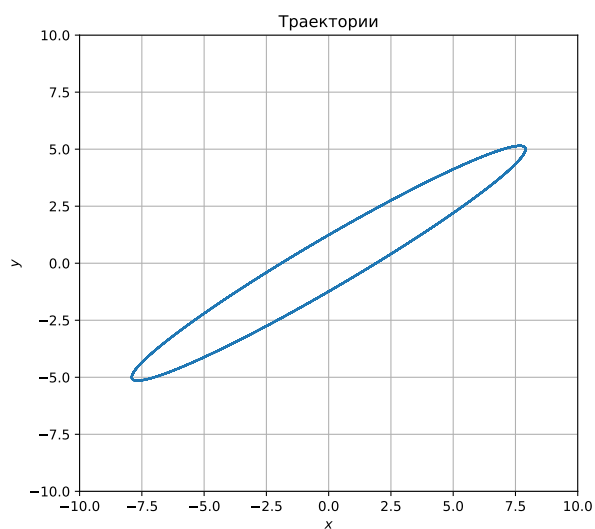


Рис. 6: Траектория шарика, с нулевым трением

Если трение присутствует и выполнено условие уравнения (10), то траектория имеет

вид как на Рис. 7

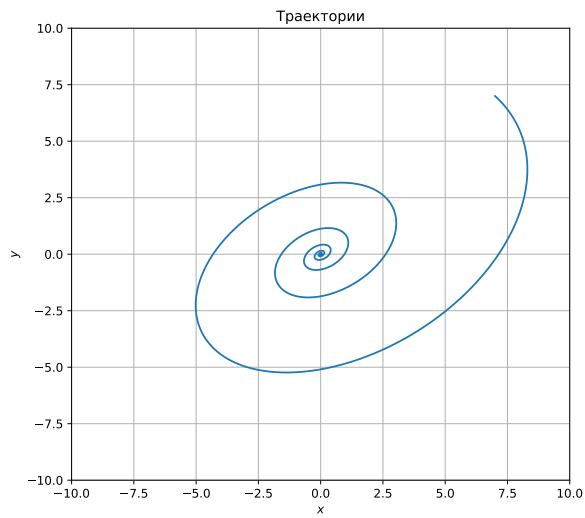


Рис. 7: Угасающие колебания

Иначе, при невыполнении условия (10), как на Рис. 8

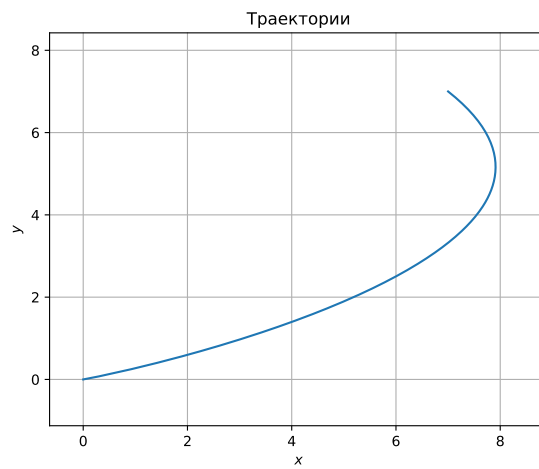
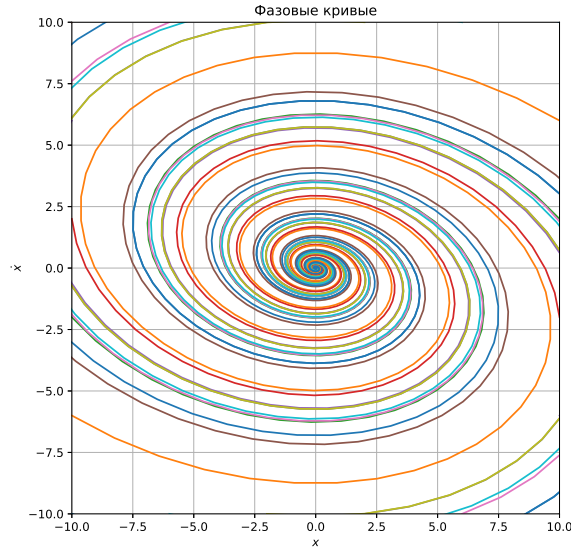


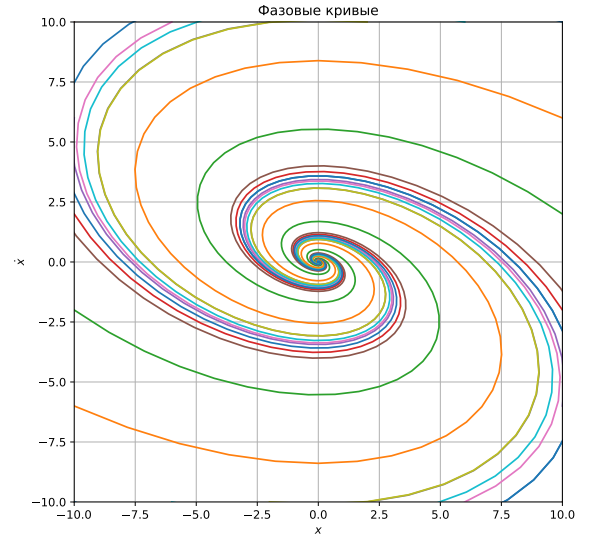
Рис. 8: Падение без колебаний

4.2 Фазовые портреты

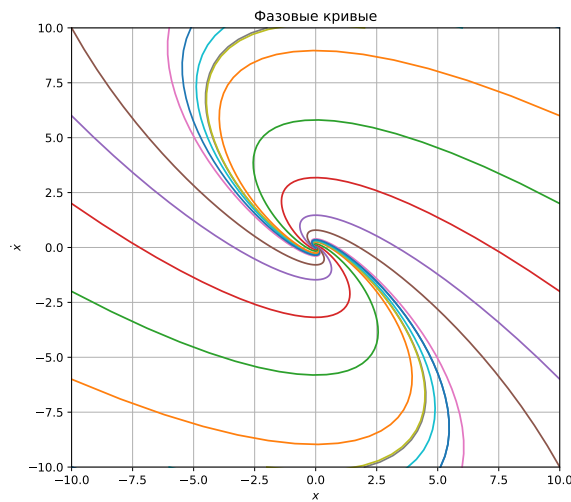
На Рис. 9 представленные характерные фазовые портреты при увеличении трения и уменьшении жесткости пружины. Происходит плавный переход от спиралей к параболам



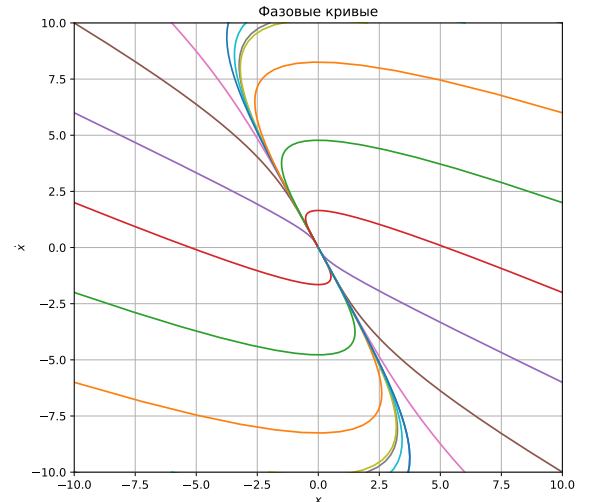
Логарифмические спирали



Логарифмические спирали



Параболы



Параболы

Рис. 9: Фазовые портреты при увеличении трения

5 Заключение

В результате анализа данной нам системы было получено уравнение условия (1) отсутствия колебаний в системе. Через параметры системы оно может быть переписано в виде:

$$b^2 > 4m(k_x + k_y). \quad (17)$$

В результате численного моделирования были воспроизведены траектории и фазовые портреты, совпадающие с теоретическими полученными.

Так же на языке программирования C++ были написаны программы для решения системы обыкновенных дифференциальных уравнений первого порядка методом Рунге-Кутты

четвертого порядка, отрисовки траекторий и фазовых портретов, и так же анимации движения шарика и пружин с использованием Виндовс форм.

Список литературы

- [1] **Арнольд В.И.** Обыкновенные дифференциальные уравнения. – Новое издание, исправл. – М.: МЦНМО, 2012. - 344 с.: ил. ISBN 978-5-94057-907-6
- [2] Автор: Это векторное изображение было создано с помощью Inkscape. - собственная работа, CC BY-SA 3.0, <https://commons.wikimedia.org/w/index.php?curid=6947676>
- [3] Автор: Это векторное изображение было создано с помощью Inkscape. - собственная работа, Общественное достояние, <https://commons.wikimedia.org/w/index.php?curid=6990209>
- [4] Автор: Это векторное изображение было создано с помощью Inkscape. - собственная работа, CC BY-SA 3.0, <https://commons.wikimedia.org/w/index.php?curid=6951695>
- [5] Автор: Maschen - Собственная работа, CC0, <https://commons.wikimedia.org/w/index.php?curid=21301479>